

早稲田大学理工学部 正会員 鮎川 登

三井海洋開発(株) 下村博史, (株)鴻池組 松本秀司  
西松建設(株) 中尾幸久, 新日本製鐵(株) 野崎啓太

1. はじめに 都市河川の治水対策として流域からの流出を抑制する方法が検討されつつある。著者は流出抑制方法の一つである浸透トレントの浸透特性について実験的に検討してきた。<sup>(1)</sup> ここでは、浸透トレントからの浸透量によばず降雨の影響について数値計算を行ない、実験値と比較した結果について述べる。

2. 実験装置と実験方法 実験装置は図-1に示すよな。厚さ10 cmの片面ガラス張りの鋼製の箱に砂(間隙率0.45, 饱和透水係数 $1.67 \times 10^{-2} \text{ cm/s}$ )を入れたものである。装置の右上部には浸透トレントの模型を設け、また砂の上部には降雨発生装置を置き、任意の雨量の雨を降らせることが出来る。装置の右側面には砂の上から、降雨強度0, 50, 100 mm/hr の雨が降る場合について、浸透トレントからの浸透量の時間変化と、各地点の毛管圧頭の時間変化を計測する。

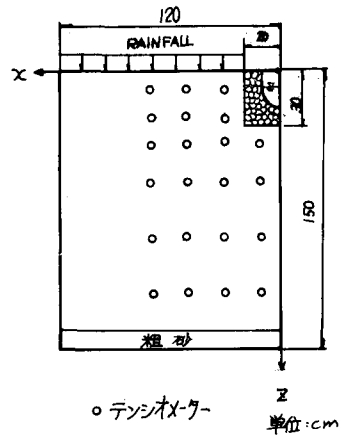


図-1 実験装置

### 3. 不飽和浸透流の基礎方程式と境界条件

二次元不飽和浸透流の基礎方程式はダルシーの法則と連続方程式を連立させてることにより導くことができる。いま砂が等方性を有し、X方向とZ方向の不飽和透水係数 $k(\psi)$ が等しいとする。基礎方程式は毛管圧水頭 $\psi$ を未知数として(1)式のように表わせる。

$$\frac{\partial}{\partial X}(K(\psi)\frac{\partial \psi}{\partial X}) + \frac{\partial}{\partial Z}\left\{ K(\psi)\left(\frac{\partial \psi}{\partial Z} - 1\right)\right\} = n \frac{\partial S(\psi)}{\partial \psi} \cdot \frac{\partial \psi}{\partial t} \quad (1)$$

ここで、 $n$ は間隙率、 $K(\psi)$ は不飽和透水係数、 $S(\psi)$ は飽和度、 $t$ は時間である。

境界条件は次のようにある。

(1)トレントの周辺では、毛管圧頭がトレント内の水位に等しいとする。

(2)装置の上端では、浸透流量が降雨量 $R$ に等しい

$$\begin{aligned} & ; -k(\psi)\left(\frac{\partial \psi}{\partial Z} - 1\right) = R \\ & ; -k(\psi)\left(\frac{\partial \psi}{\partial Z} - 1\right) = 0 \\ & -k(\psi)\frac{\partial \psi}{\partial X} = 0 \end{aligned} \quad (2)$$

4. 水分保留特性と不飽和透水係数 (1)式を数値計算で解くためには、水分保留特性 $S(\psi)$ と不飽和透水係数 $k(\psi)$ の関数型を知らなければならぬ。水分保留特性 $S(\psi)$ は、実験砂についてPF試験を行ったことにより知ることができる。本研究で使用した砂の水分保留特性 $S(\psi)$ は図-2のようである。不飽和透水係数 $k(\psi)$ は次のようにして推定した。図-3には、浸透トレントからの浸透をとくし、砂の上部から時間雨量50, 80, 100, 120, 150 mm/hr の降雨のみを与えた場合の、実験開始後300 min後ににおける、Z方向の毛管圧水頭分布を示してある。この時点では、毛管圧水頭の時間変化をなくし、定常状態にある。

不飽和浸透流がダルシーの法則に従うとすれば、砂の上部における毛管圧水頭を $\psi_u$ 、降雨強度を $R$ とし、次のような運動方程式が成立する。

$$-K(\psi_u) \left( \frac{\partial \psi}{\partial z} - 1 \right) = R \quad (3)$$

図-3によると装置の上部では、毛管圧水頭は $z$ 方向に変化しない ( $\frac{\partial \psi}{\partial z} = 0$ ) から

$$K(\psi_u) = R \quad (4)$$

となる。与えられた降雨強度の下で $\psi_u$ を求めれば、 $K(\psi)$ の関数型を推定することができる。Gardner 不飽和透水係数による式を用いて、次のような実験式を与える。

$$\frac{K(\psi)}{K_0} = \frac{B}{|\psi|^N + B} \quad (5)$$

ここに $K_0$ は飽和透水係数、 $N$ 、 $B$ は定数である。

上記のようにして、降雨実験により求めた不飽和透水係数 $K(\psi)$ と毛管圧水頭 $\psi$ の関係をGardnerの式(5)に従がいプロットすると、図4のようになる。図4の実線は、最小二乗法により、決定された $N=4.11$ 、 $B=6.5 \times 10^5$ の値を用いて(5)式の関係を示したものである。

5. 実験結果と計算結果の比較 基礎方程式(1)を、境界条件(2)の下で Crank-Nicholson の差分スキームにより差分化し、図-2および図-4に示す、水分保有特性 $S(\psi)$ と不飽和透水係数 $K(\psi)$ の関係を用いて、S.O.R 法により毛管圧水頭 $\psi$ の数値解を求め、ダルシーの法則により浸透量を求めた。降雨がない場合と降雨強度 100 mm/hr 降雨がある場合の浸透トレーンチからの浸透量と時間変化を実験値をプロットし計算値を実線で示すと図-5のようになる。図-5によると計算値がほぼ妥当な値をとることが分かる。

本研究は文部省科学研究費補助金（自然災害特別研究）：研究代表者早稲田大学理工学部 吉川秀夫 教授の補助を受けてのことと付記し、謝意を表します。

#### 参考文献：

- 1) 魚住川、坪田、内田：浸透トレーンチの浸透特性に関する実験的研究、第38回年次学術講演会講演概要集、1983.10
- 2) 魚住川、下村、坪田：浸透トレーンチの浸透特性に関する実験的研究、第28回大理講演会論文集、1984.2

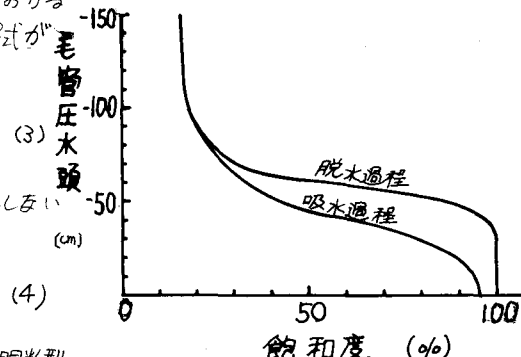


図-2 水分特性曲線

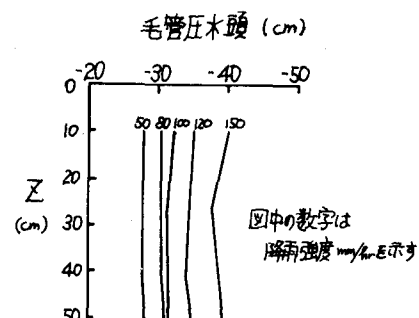


図-3 毛管圧水頭、 $z$ 方向分布 ( $t=300\text{min}$ )

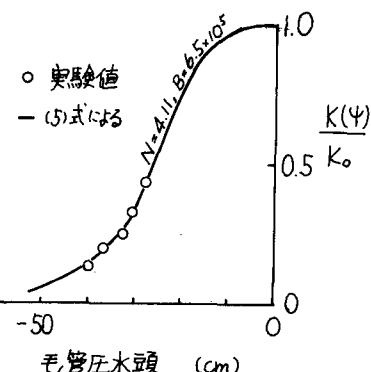


図-4 不飽和透水係数  $K(\psi)/K_0$

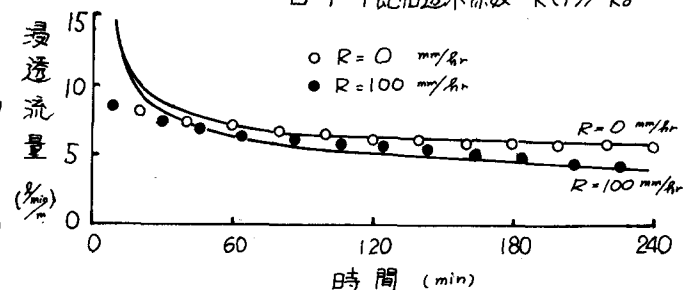


図-5 トレーンチからの浸透流量の時間変化